# (12) ОПИСАНИЕ ИЗОБРЕТЕНИЯ К ЕВРАЗИЙСКОМУ ПАТЕНТУ

(45) Дата публикации и выдачи патента

2021.08.12

(21) Номер заявки

201900385

(22) Дата подачи заявки

2019.07.26

(51) Int. Cl. **B64G** 1/10 (2006.01) **B64G 1/62** (2006.01) **B64G 1/64** (2006.01)

# СПОСОБ УВОДА ОБЪЕКТОВ КРУПНОГАБАРИТНОГО КОСМИЧЕСКОГО МУСОРА И УСТРОЙСТВО ДЛЯ ЕГО РЕАЛИЗАЦИИ

(43) 2021.01.31

(96) 2019000072 (RU) 2019.07.26

(71)(73) Заявитель и патентовладелец:

ФЕДЕРАЛЬНОЕ ГОСУДАРСТВЕННОЕ БЮДЖЕТНОЕ ОБРАЗОВАТЕЛЬНОЕ УЧРЕЖДЕНИЕ ВЫСШЕГО ОБРАЗОВАНИЯ "ОМСКИЙ ГОСУЛАРСТВЕННЫЙ ТЕХНИЧЕСКИЙ УНИВЕРСИТЕТ" (RU)

(72) Изобретатель:

Трушляков Валерий Иванович, Юдинцев Вадим Вячеславович (RU) (56) RU-C2-2521082 US-B2-7207525 US-B2-9463884 US-A1-20100193640

Предложено изобретение, которое относится к области ракетно-космической техники и (57) может быть использовано для очистки околоземного космического пространства от объектов крупногабаритного космического мусора на тросе. На этапе ближнего наведения формируют вращающуюся тросовую систему. Предложенная тросовая система включает управляемый тросовый барабан, трос, отделяемый на тросе транспортно-стыковочный модуль с системой жёсткой стыковки с космическим мусором, декартовую двигательную установку с системой стыковки и захвата, космический буксир, оснащённый двигательной установкой. Управление натяжением троса, соединяющего космический буксир с транспортно-стыковочным модулем, осуществляют изменением длины троса с учётом действия на космический буксир силы тяги, силы натяжения троса от вращения тросовой системы вокруг её центра масс. При достижении центром масс тросовой системы заданной орбитальной скорости движения космического мусора осуществляют его отделение путём разрыва жёсткой механической связи между транспортностыковочным модулем и тросом. После отделения космического мусора осуществляют торможение вращения связки (космический буксир-трос-транспортно-стыковочный модуль), стягивание в единую жёсткую связку и манёвр связки к следующему объекту космического мусора.

Изобретение относится к области ракетно-космической техники и может быть использовано для очистки околоземного космического пространства от объектов крупногабаритного космического мусора (КМ), типа прекративших активное существование космических аппаратов, отделившихся частей последних ступеней ракет-носителей и разгонных блоков.

Известен способ по патенту РФ № 2521082 В64G 1/00, в котором предлагается внести изменения обозначений для заявляемого изобретения, с учётом уточненных обозначений способ формулируется следующим образом: способ стыковки космических аппаратов (КА), один из которых пассивный (ПКА), это далее - космический мусор (КМ), а другой, сближающийся с ним - активный (АКА), это далее - космический буксир (КБ), включающий использование самонаводящегося космического микробуксира (КМБ), это далее - транспортно-стыковочный модуль (ТСМ) для доставки троса к КМ, выпускаемого с КБ и оснащенного стыковочным штырем, при сближении с КМ на минимальное расстояние, стыковку, стягивание механической связки (КБ - ТСМ - КМ) с помощью троса, отличающийся тем, что после создания механической связки (ТСМ - КМ) совмещают продольные оси КБ и связки (ТСМ - КМ) с направлением линии, соединяющей их центры масс, осуществляют стабилизацию углового положения КБ и связки (ТСМ - КМ) в инерциальной системе координат с центром, находящимся в центре масс КБ, и с помощью продольных ускорений, развиваемых двигателями КБ и ТСМ, осуществляют снижение натяжения троса до минимального, а после касания связки (ТСМ - КМ) посадочного места на КБ осуществляют фиксацию связки (ТСМ - КМ) с помощью системы, установленной на КБ.

Недостатки этого способа стыковки, предусматривающего "толкающую" схему, заключаются в следующем:

- а) при стыковке на пересекающихся курсах КБ и КМ при стягивании КБ и связки (ТСМ КМ) с помощью троса угловая скорость связки (КБ трос -TСМ КМ) будет увеличиваться с уменьшением расстояния между КБ и связкой (ТСМ КМ) и для её уменьшения необходимо приложение тормозных импульсов двигательных установок ДУ КБ и ДУ ТСМ;
- б) при вращении связки (КБ трос TCM KM) возникают центробежные силы, зависящие от угловой скорости, масс КБ и связки (TCM-KM), приводящие к значительной силе натяжения троса, что приводит к необходимости увеличения его прочности за счёт увеличения массы;
- в) стабилизация (торможение) связки (КБ трос TCM КМ) при стягивании троса требует затрат топлива как на КБ, так и на TCM;
- д) использование других систем захвата типа сеть, гарпун практически невозможно из-за проблем стыковки в единую "жёсткую" систему механической связки (КБ ТСМ КМ) с центром масс, лежащим на линии, совпадающей с продольной осью КБ для "толкающей" схемы.

В статье [1] Trushlyakov V., Yudintsev V. Systems engineering design and optimization of an active debris removal mission of a spent rocket body using piggyback autonomous module//3-rd IAA Conf. Dyn. Control Sp. Syst. (DYCOSS 2017) 30 May - 1-st June 2017. Moscow, 2017. pp. 667-681 приведены угловые скорости системы (КБ - трос - ТСМ - КМ) при стягивании связки, а также силы, действующие на трос.

Эти недостатки могут быть устранены в том случае, если в известный способ добавить следующие действия, в результате чего получим Способ увода объектов КМ, основанного на использовании КБ, отделяющегося от него на тросе ТСМ и стыковки с КМ отличающийся тем, что

- 1.1) за счёт различия орбитальных скоростей (КБ с ТСМ) и КМ, используя ТСМ для доставки троса А от КБ к КМ, на этапе ближнего наведения формируют вращающуюся тросовую систему (ТС1), включающую в свой состав КБ трос ТСМ, с жёсткой механической связью между с КМ (например, штангаконус или манипулятор) или вращающуюся тросовую систему (ТС2), включающую в свой состав КБ трос А ТСМ, с тросовой связью (трос Б) между ТСМ и КМ (например, сеть или гарпун на тросовой связи).
- 1.2а) после формирования вращающейся TC1 (TC2), непрерывно определяют её угловое положение на орбите по отношению к вектору орбитальной скорости её центра масс и для увеличения высоты орбиты центра масс TC1 (TC2) прилагают импульс ДУ КБ, направленной вдоль линии троса в сторону центра масс TC1 (TC2), на интервале углового положения TC1 (TC2), соответствующего положительной величине проекции импульса ДУ КБ на вектор скорости центра масс TC1 (TC2), а для уменьшения высоты орбиты центра масс TC1 (TC2) импульс ДУ КБ прилагают на интервале углового положения TC1 (TC2), соответствующего отрицательной проекции импульса ДУ КБ на вектор орбитальной скорости центра масс TC1 (TC2);
- 1.26) после формирования вращающейся TC1 (TC2), непрерывно определяют её угловое положение на орбите по отношению к вектору орбитальной скорости её центра масс и с целью сокращения затрат топлива КБ для уменьшения перигея орбиты центра масс TC1 (TC2) импульс ДУ КБ прилагают на интервале углового положения TC1 (TC2), соответствующего отрицательной проекции импульса ДУ КБ на вектор орбитальной скорости центра масс TC1 (TC2) при высоте орбиты TC1 (TC2) близкой к высоте апогея;
- 1.3a) управление натяжением троса A, соединяющего КБ с TCM, от момента формирования жёсткой связи между TCM и KM, до момента отделения KM от TCM, осуществляют изменением длины троса A для обеспечения гарантированного натяжения троса A с учётом действия на КБ силы тяги, натяжения

троса A от вращения TC1 вокруг её центра масс, а также для демпфирования возможных продольных колебаний троса A, при этом сила натяжения троса A не должна превышать предельного значения, определяемого свойствами материала троса A, и прочностью элементов конструкций, обеспечивающих крепление троса A к TCM и КБ и соединение TCM с КМ;

- 1.36) управление натяжением тросов A, Б, соединяющего КБ с TCM и TCM с KM, соответственно, осуществляют путём изменения длин тросов A, Б для обеспечения гарантированного их натяжения с учётом действия на КБ силы тяги ДУ КБ, натяжения тросов A, Б от вращения TC2 вокруг центра масс, демпфирования возможных продольных колебаний тросов, колебаний TCM относительно линии, соединяющей центры масс КМ и КБ, и отсутствия в TC2 резонансных явлений, при этом сила натяжения тросов A, Б не должна превышать предельного значения, определяемого свойствами материалов тросов A,Б, и прочностью элементов конструкций, обеспечивающих крепление тросов A, Б к TCM и КБ, КМ соответственно и соединение TCM с КМ;
- 1.4a) при достижении центром масс TC1 заданной области околоземного пространства и заданной орбитальной скорости движения KM осуществляют отделение KM путём разрыва жёсткой механической связи между TCM и KM;
- 1.46) при достижении центром масс TC2 заданной области околоземного пространства и заданной скорости движения KM осуществляют отделение KM путём разрыва жёсткой механической связи между TCM и тросом Б;
- 1.5) после отделения КМ осуществляют торможение вращения связки (КБ трос A TCM), стягивание в единую жёсткую связку и манёвра связки (КБ TCM) к следующему объекту КМ.

## Устройства для реализации способа

- 2а) Тросовая система 1, включающая в свой состав КБ, управляемый тросовый барабан А, трос А, отделяемый на тросе А ТСМ с системой стыковки с КМ, отличающаяся тем, что КБ оснащён ДУ с возможностью отработки продольных импульсов по "толкающей" схеме, ТСМ оснащён декартовой ДУ и системой жёсткой стыковки и захвата типа "штырь-конус" или "робот-рука".
- 2.6) Тросовая система 2, включающая в свой состав КБ, управляемый тросовый барабан А, трос А, ТСМ с системой стыковки с КМ, отличающаяся тем, что КБ оснащён ДУ с возможностью отработки продольных импульсов по "толкающей" схеме, в состав ТСМ вводят управляемый тросовый барабан Б, жёстко связанный с ТСМ, трос Б, систему крепления троса Б с ТСМ на основе разрывных болтов, электрически связанную с ТСМ, отделяемую от ТСМ на тросе Б систему захвата типа гарпун, сеть.

## Реализация способа и устройств

Для иллюстрации способа по п.1.1а и 1.16 на фиг. 1 приведена схема, на которой обозначены: 1 - КБ, 2 - КМ, 3 - ТСМ, 4 - трос А, соединяющий ТСМ с КБ, 5 - жёсткая или нежёсткая (трос Б) механическая связь, соединяющий ТСМ с КМ, 6 - центр масс ТС1 (ТС2), включающей КБ, ТСМ и КМ, 7 - сила тяги ДУ КБ, 8 - орбита движения центра масс 6 ТС1 (ТС2) вокруг Земли - 9, 10 -траектория движения КБ 1 относительно центра масс ТС1 (ТС2), 11 - активный участок АВ траектории 10 движения КБ относительно центра масс 6 ТС1 (ТС2), на котором производится включение ДУ КБ для изменения орбиты ТС1 (ТС2).

На фиг. 2 в качестве примера приведены характерный график изменения высоты апогея и высоты перигея орбиты TC1, вращающейся с угловой скоростью величиной 2 градуса в секунду в плоскости орбиты TC1, с массой КМ 4500 кг, массой TCM 500 кг, массой КБ 5000 кг, соединённых тросом А длиной 2000 м, при действии на TC1 силы тяги КБ 1000 Н при отрицательной проекции тяги КБ на направление скорости центра масс 6 TC1.

На фиг. 3 приведена схема тросовой системы на момент отделения КМ от ТСМ, на которой обозначены 12 - центр масс КМ, 13 - траектория движения центра масс КМ, обеспечивающая его падение в заданную точку на поверхности Земли 9.

На фиг. 4 приведена конструкция TC1, которая включает в свой состав управляемый тросовый барабан A 14 для возможности изменения длины троса A 4, TCM 3 с декартовой ДУ 15 и системой стыковки 16, формирующей жёсткую разделяемую механическую типа "штырь-конус", "робот-рука" с КМ 2. Для изменения орбиты TC1 КБ оснащён ДУ 17 с возможностью отработки продольных импульсов по "толкающей" схеме - импульсов направленных вдоль троса A от КБ к центру масс 6 вращающейся TC1.

На фиг. 5 приведена конструкция TC2, отличающаяся от конструкции TC1, тем, что на TCM 3 устанавливается система захвата 19, формирующей нежёсткую механическую связь KM 2 с TCM 3 типа гарпун или сеть посредством троса Б 5 (на фиг. 5 показан один из возможных вариантов нежёсткой механической связи сформированной при помощи сети). В состав TCM 3 включён управляемый тросовый барабан Б 18 для управления длиной троса Б (5), являющегося частью системы захвата 19, систему разделения механической связи 20 на основе пироболтов (пирозамков) 21 между тросом Б 5 и барабаном TCM 18 для отделения KM с тросом Б, электрически связанную 22 с TCM3.

На фиг. 6 показаны этапы увода космического мусора. После отделения от носителя КБ 1 с ТСМ 3 выводятся на орбиту близкую к орбите выбранного КМ 2 так, чтобы скорость орбитального движения КБ с ТСМ в точке наибольшего сближения отличалась на величину достаточную для раскрутки тросовой системы до необходимой угловой скорости (фиг. 6а).

ТСМ 3 отделяется от КБ 1 на тросовой связи и, используя свою ДУ, сближается с КМ (фиг. 6б) и захватывает его, формируя между КМ и ТСМ жёсткую или нежёсткую механическую связь (фиг. 6в).

Разница орбитальных скоростей КМ и КБ приводит к начальной закрутке тросовой системы вокруг её центра масс 6. После стабилизации углового движения КБ 1 и ТСМ 3 с КМ 2 относительно троса А 4, управляя длиной троса А 4, обеспечивают вращение тросовой системы с заданной угловой скоростью для обеспечения натяжения троса А при действии на тросовую систему тяги ДУ КБ 1 для изменения орбиты тросовой системы (фиг. 6г).

При достижении заданной области околоземного пространства, управляя длиной троса А, формируют условия отделения КМ для требуемого движения центра масс КМ и выполняют отделение КМ.

Для отделения KM от TC1 разрывают жёсткую механическую связь 16 (фиг. 4) между TCM 3 и KM 2.

Для отделения KM от TC2 разрывают механическую связь 20 между TCM 3 и тросом Б 5, путём средства разделения (разрывные болты, пирозамки), электрические связанные с ТСМ 3.

После разрыва механической связи ТСМ с КМ, с использованием троса А ТСМ возвращается на КБ для захвата и увода следующего КМ (фиг. 6е).

#### Описание способа

1.1) Определяют активный участок 11 ТС1 (ТС2), как множество угловых положений на орбите движения 8 её центра масс 6 по отношению к вектору скорости V, определяемых углом ф, для приложения к ТС1 (ТС2) силы тяги ДУ КБ 7, направленной вдоль линии троса А 4 в сторону связки (ТСМ - КМ), для изменения скорости V центра масс 6 TC1 (TC2) для требуемого изменения параметров её орбиты.

В системе координат ОХҮ, связанной с плоскостью орбиты связки, координатный столбец вектора приращения скорости центра масс ТС1 (ТС2), вращающейся в плоскости орбиты, при постоянном уровне тяги КБ Р будет определятся следующим матричным выражением:

$$\Delta V^{O} = \begin{bmatrix} \Delta V_{\chi}^{O} \\ \Delta V_{y}^{O} \end{bmatrix} = -\frac{P}{m} \int_{0}^{\Delta t} \begin{pmatrix} \cos \vartheta & -\sin \vartheta \\ \sin \vartheta & \cos \vartheta \end{pmatrix} \cdot \begin{pmatrix} \cos \varphi \\ \sin \varphi \end{pmatrix} dt =$$

$$= -\frac{P}{m} \int_{0}^{\Delta t} \begin{bmatrix} \cos \vartheta & \cos \varphi - \sin \vartheta \sin \varphi \\ \sin \vartheta & \cos \varphi + \cos \vartheta \sin \varphi \end{bmatrix} dt$$
(1)

где ф - угол между вектором силы тяги 7 КБ 1, совпадающим с линией троса А 4, и направлением вектора скорости центра масс 6 ТС1, ТС2 (для рассматриваемого примера полагаем, что направления тросов А и Б параллельны), который для постоянной угловой скорости вращения ТС1, ТС2 определяется выражением

$$\varphi = \varphi_0 + \omega t, \tag{2}$$

 $\omega$  - угловая скорость вращения TC1, TC2 вокруг центра масс 5,  $\phi_0$  - начальный угол между вектором силы тяги ДУ и вектором орбитальной скорости центра масс 6, 9 - угол истинной аномалии, определяющий ориентацию орбитальной подвижной системы координат  $Cx_0y_0$  относительно неподвижной перигейной системы координат 0ХҮ:

$$\vartheta = \vartheta_0 + nt, \tag{3}$$

 $\vartheta = \vartheta_0 + nt$ , (3)  $\vartheta_0$  - начальное значение угла истинной аномалии,  $n = \sqrt{\mu/r^3}$  - среднее движение - угловая скорость орбитального движения связки по круговой орбите 8, µ - гравитационный параметр Земли, m - суммарная масса TC1 (TC2),  $\phi_0$  - (фиг. 1),  $\Delta t$  - продолжительность работы ДУ КБ 1 с момента прохождения TC1 (TC2) положения  $\phi = \phi_0$  до момента, когда угол между вектором силы тяги ДУ и вектором орбитальной скорости TC1 (TC2) станет равен  $\phi_{\kappa}$ 

$$\Delta t = \frac{\varphi_{\kappa} - \varphi_0}{\omega} \tag{4}$$

Подставляя (2) и (3) в (1), получим
$$\Delta V^{0} = \frac{P}{m(n+\omega)} \left[ \frac{\sin(\varphi_{0} + \vartheta_{0}) - \sin(\varphi_{\kappa} + \vartheta_{0})}{\cos(\varphi_{\kappa} + \vartheta_{0}) - \cos(\varphi_{0} + \vartheta_{0})} \right]$$
(5)

В орбитальной подвижной системе координат, зафиксированной в момент t = 0, проекции приращения вектора скорости центра масс ТС1 (ТС2) 6 будут определяться следующим образом:

$$\Delta V^{C} = \frac{P}{m(n+\omega)} \begin{bmatrix} \sin \varphi_{0} - \sin \varphi_{k} \\ \cos \varphi_{k} - \cos \varphi_{0} \end{bmatrix}. \tag{6}$$

Угловая скорость  $\omega$  TC1 (TC2) имеет порядок единицы градуса в секунду, что значительно превышает угловую скорость орбитального движения центра масс 6 TC1 (TC2) n, что позволяет упростить выражение (6)

$$\Delta V^{C} = \frac{P}{m \omega} \begin{bmatrix} \sin \varphi_{0} - \sin \varphi_{k} \\ \cos \varphi_{k} - \cos \varphi_{0} \end{bmatrix}$$
 (7)

Для уменьшения высоты орбиты ТС1 (ТС2) ДУ КБ 1 включается на части 11 траектории движения 10 КБ 1 относительно центра масс 6 ТС1 (ТС2) при ориентации ТС1 (ТС2), обеспечивающей отрицательную проекцию вектора силы тяги 7 КБ 1 на направление вектора орбитальной скорости (фиг. 1)

$$\vec{P} \cdot \vec{V} = -|P||V|\cos \varphi < 0. \tag{8}$$

Это достигается при  $\phi_0 = -\pi/2$  и  $\phi_K = \pi/2$ . Используя выражение (7), получим величину тормозного импульса

$$\Delta V = \frac{2P}{m(n+\omega)'} \tag{9}$$

Направление вектора  $\Delta V$  (при  $\omega > n$ ) будет противоположным вектору орбитальной скорости в момент включения ДУ КБ.

Например, для силы тяги P = 1 кH (100 кгс), массы TC1 (TC2) m = 10 т и угловой скорости вращения TC1 (TC2) ω = 2°/c, изменение скорости за один оборот связки вокруг центра масс 6 будет равен:  $\Delta V \approx \frac{2 \cdot 1 \text{ кH}}{10000 \text{ kr} \cdot 2 \, °/c} \approx 5,7 \text{ м/c}.$  (10)

$$\Delta V \approx \frac{2 \cdot 1 \text{ kH}}{10000 \text{ kg} \cdot 2 \text{ °/c}} \approx 5.7 \text{ m/c}.$$
 (10)

За один орбитальный период ТС1 (ТС2) количество включений ДУ КБ 1 будет определяется отношением угловых скоростей вращения ТС1 (ТС2) и её движения по орбите:

$$N_P = \frac{\omega}{n} \tag{11}$$

Для указанных выше значений и начальной высоты орбиты h = 800 км

$$N_P = \frac{\omega}{\sqrt{\frac{\mu}{R^3}}} = \frac{2^{\circ}/c}{\sqrt{\frac{\mu}{(6371 \text{ км} + 800 \text{ км})^3}}} \approx \frac{0.0349 \text{ c}^{-1}}{0.00104 \text{ c}^{-1}} \approx 33$$
 (12)

Многократное включение ДУ КБ 1 в течение орбитального периода ТС1 (ТС2) приведёт к снижению высоты орбиты через один орбитальный период до 450 км. Дальнейшая работа ДУ КБ по указанному алгоритму приведёт к снижению высоты орбиты ТС1 (ТС2) до границы атмосферы в течение 2 орбитальных периодов. На фиг. 2 показано изменение высоты апогея и перигея орбиты ТС1 (ТС2) для ука-

занных выше параметров. Затраты топлива за один орбитальный период составят 
$$\Delta m_T = \frac{P}{I_s} N_p \Delta t \approx \frac{1000 \text{ H}}{3000 \text{ m/c}} 33.90 \text{ c} \approx 990 \text{ kr.} \tag{13}$$

1.2а) Сила натяжения троса А должна быть не больше величины Т<sup>тах</sup>, определяемой из условия целостности троса А, конструкции узлов крепления троса А к КБ, ТСМ:

$$T < T^{max}$$

В частности, сила натяжения троса А не должна превышать предельное натяжение троса А, определяемое из условия его прочности

$$T^{max} < [\sigma]S$$

где S - площадь поперечного сечения троса A, [σ] - допускаемое напряжение на растяжение мате-

При этом должно обеспечивается натяжение троса А при действии силы тяги КБ 1. Для угловой скорости о движения TC1 КБ - TCM - KM вокруг общего центра масс 6 сила натяжения троса A T<sub>0</sub> при отсутствии тяги 7 КБ 1 определяется следующим образом:

$$T_0 = \frac{c \, m_{\rm np} \omega^2 l}{c - m_{\rm np} \omega^2} \tag{14}$$

где 1 - длина TC1 (от центра масс КБ до центра масс КМ), m<sub>пр</sub> - приведённая масса TC1

$$m_{\rm \pi p} = \frac{m_{\rm KB}(m_{\rm TCM} + m_{\rm KM})}{m},\tag{15}$$

 $m_{KB}$  - масса KB,  $m_{KM}$  - масса KM,  $m_{TCM}$  - масса TCM,  $m = m_{KB} + m_{TCM} + m_{KM}$  - масса TC1, массой троса А пренебрегаем.

Для указанного выше примера TC1 сила натяжения троса  $A - T_0$  при жёсткости троса A с<sub> $\Delta$ </sub> = EF/I = 350 H/м, выполненного из кевлара диаметром 3 мм, будет равна  $T_0 = \frac{350 \text{ H/м } 2500 \text{ кг } (2 \text{ °/c})^2 2000 \text{ м}}{350 \text{ H/м} - 2500 \text{ кг } (2 \text{ °/c})^2} \approx 6,15 \text{ кH}$ 

$$T_0 = \frac{350 \text{ H/m} 2500 \text{ kr} (2 ^{\circ}/\text{c})^2 2000 \text{ m}}{350 \text{ H/m} - 2500 \text{ kr} (2 ^{\circ}/\text{c})^2} \approx 6,15 \text{ kH}$$
 (16)

При действии силы тяги КБ 1 стационарное значение силы натяжения троса А (после затухания продольных колебаний троса А) будет равно

$$T_{P} = \frac{c_{A}(l\omega^{2}m_{KB} - P)m_{KM}}{c_{A}(m_{KB} + m_{KM}) - \omega^{2}m_{KB}m_{KM}},$$
(17)

Минимальное значение силы натяжения троса А при действии силы Р с учётом коэффициента динамичности (Бабаков И.М. Теория колебаний - М.: Наука, 1968) приближённо можно оценить следующим образом:

$$T_P = T_0 - \frac{2P(m_{\rm KM} + m_{\rm TCM})}{m} > 0,$$
 (18)

Для того чтобы сила натяжения троса всегда была больше нуля, необходимо выполнение условия

$$P < \frac{T_0 m}{2(m_{\rm KM} + m_{\rm TCM})} \tag{19}$$

В частности, из условия (19) следует, что при близких массах КБ и КМ с TCM ( $m_{KM} + m_{TCM} = m_{KE}$ ) сила натяжения троса должна быть больше силы тяги ДУ КБ

$$T_0 > P \tag{20}$$

Из условия (19) можно выразить требование к угловой скорости вращения ТС1

$$\omega > \sqrt{\frac{2 m}{c_{\rm A} l m_{\rm KB} + (c_{\rm A} l + 2P)(m_{\rm KM} + m_{\rm TCM})} \frac{P c_{\rm A}}{m_{\rm KB}}}$$
 (21)

Например, при 
$$m_{KB} = 5000 \text{ кг}$$
,  $m_{KM} = 4500 \text{ кг}$ ,  $m_{TCM} = 500 \text{ кг}$  приведённая масса связки равна 
$$m_{np} = \frac{5000 \text{ кг}(500 \text{ кr} + 4500 \text{ кr})}{5000 \text{ кr} + 500 \text{ кr} + 4500 \text{ кr}} = 2500 \text{ кг}.$$

$$V_{TROBAR CKOROCTA CRISKU при длине троса A  $l = 2 \text{ км}$  и силе тяги ЛУ КБ  $P = 1 \text{ кH}$  должна$$

Угловая скорость связки при длине троса А 1 = 2 км и силе тяги ДУ КБ Р = 1 кН, должна быть не менее 0,8°/с.

1.2б) При нежёсткой связи между ТСМ и КМ необходимо также контролировать натяжение гибкой связи (трос Б). Сила натяжения троса Б должна быть не больше величины Т<sup>тах</sup>, определяемой из условия целостности троса Б, конструкции узлов крепления троса Б к КМ и ТСМ.

При вращении ТС2 и отсутствии действия на ТС2 силы тяги КБ 1 сила натяжения троса А, соединяющего КБ 1 с ТСМ 3, будет определяться следующим образом:

$$T_{\rm A} = c_{\rm A} \frac{l\omega^2 m_{\rm KB} (c_{\rm B} m_{\rm KM} + k(c_{\rm B} - \omega^2 m_{\rm KM}) m_{\rm TCM})}{\omega^2 m_{\rm KB} (\omega^2 m_{\rm KM} m_{\rm TCM} - c_{\rm B} m_{\rm B}) + c_{\rm A} (-\omega^2 m_{\rm KM} m_{\rm A} + c_{\rm B} m)}.$$
 (23)

где  $m_A = m_{KB} + m_{TCM}, \ m_B = m_{KM} + m_{TCM}, \ c_A$  - жёсткость троса A, соединяющего КБ с TCM,  $c_B$  - жёсткость троса F, соединяющего F с F с F с F с F на F с F на F с F на F  $l_{B}$ ),  $l_{A}$  - длина троса A (от центра масс КБ до центра масс ТСМ),  $l_{\overline{b}}$  - длина троса Б (от центра масс ТСМ до центра масс КМ). Сила натяжения троса Б, соединяющего ТСМ с КМ

$$T_{\rm B} = c_{\rm B} \frac{l\omega^2 m_{\rm KM} (c_A m_{\rm KB} + (k-1)(\omega^2 m_{\rm KB} - c_A) m_{\rm TCM})}{\omega^2 m_{\rm KB} (\omega^2 m_{\rm KM} m_{\rm TCM} - c_{\rm B} m_{\rm B}) + c_A (-\omega^2 m_{\rm KM} m_{\rm A} + c_{\rm B} m)}.$$
 (24)

После включения ДУ КБ сила натяжения тросов А и Б изменится. Предполагая, что суммарная длина ТС2 под действием силы Р изменится незначительно, что не приведёт к значительному изменению угловой скорости ТС2, силы натяжения тросов после успокоения продольных колебаний тросов, будут определяться следующим образом:

$$T_{\rm A} = c_{\rm A} \frac{c_{\rm B} (l\omega^2 m_{\rm KB} - P) m_{\rm KM} + (P - kl\omega^2 m_{\rm KB}) (\omega^2 m_{\rm KM} - c_{\rm B}) m_{\rm TCM}}{\omega^2 m_{\rm KB} (\omega^2 m_{\rm KM} m_{\rm TCM} - c_{\rm B} m_{\rm B}) + c_{\rm A} (c_{\rm B} m - \omega^2 m_{\rm KM} m_{\rm A})}.$$
 (25)

$$T_{\rm E} = c_{\rm E} \frac{m_{\rm KM}((k-1)l\omega^4 m_{\rm KE} m_{\rm TCM} + c_A(l\omega^2 (m_{\rm KE} - (k-1)m_{\rm TCM}) - P))}{\omega^2 m_{\rm KE}(\omega^2 m_{\rm KM} m_{\rm TCM} - c_{\rm E} m_{\rm E}) + c_A(c_{\rm E} m - \omega^2 m_{\rm KM} m_{\rm A})}.$$
 (26)

Для TC2 с длиной троса A  $I_A = 2000$  м, троса Б -  $I_B = 50$  м,  $c_A = EF/I_A = 350$  H/м,  $c_B = EF/I_b = 14000$  $\rm H/m$ , начальной угловой скорости  $\omega = 2^{\circ}/c$ ,  $\rm m_{KB} = 5000~kr$ ,  $\rm m_{KM} = 4500~kr$ ,  $\rm m_{TCM} = 500~kr$ , начальная сила натяжения тросов А и Б

$$T_A = 6,29 \text{ kH}, \ T_B = 5,68 \text{ kH}.$$

После включения ДУ КБ установившаяся сила натяжения тросов А и Б:

$$T_A = 5.78 \text{ kH}, \ T_B = 5.23 \text{ kH},$$

при этом длина ТС2 после включения ДУ КБ уменьшится на 1,5 м, что составляет менее 0,1% от начальной длины ТС2.

1.4) отделение КМ от ТСМ осуществляют при достижении ТС1 (ТС2) заданной области околоземного пространства для спуска КМ 2 в заданную область земной поверхности 9 (например, для затопления в несудоходной области Мирового океана), при этом управляя длиной троса А, Б и моментом разделения КМ и ТСМ обеспечивают движение КМ с начальной скоростью

$$V_{\text{KM}} = V + u_d$$

обеспечивающей требуемые начальные условия входа КМ 2 в плотные слои атмосферы, где u<sub>d</sub> скорость движения центра масс 12 KM относительно центра масс 6 TC1 (TC2)

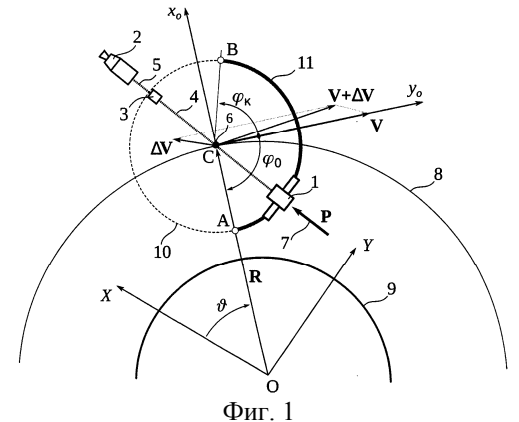
$$u_{\scriptscriptstyle \mathrm{KM}} = \boldsymbol{\omega} \times \boldsymbol{\rho}_{\scriptscriptstyle \mathrm{KM}}$$

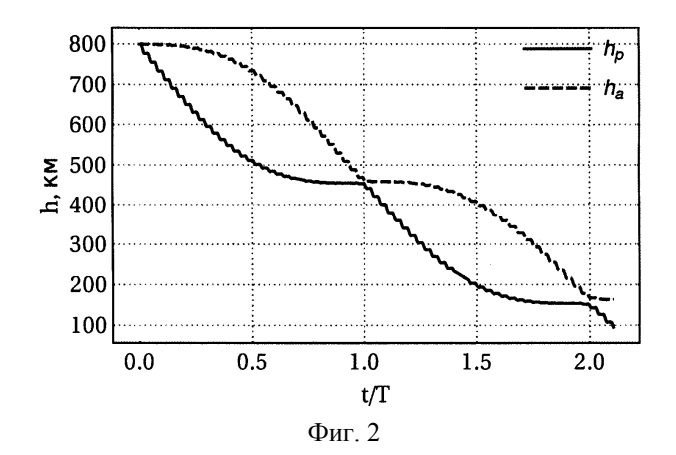
 $\rho_{\kappa M}$  - радиус-вектор соединяющий центр 6 масс TC1 (TC2) с центром масс 12 KM 2 в момент разделения КМ 2 и ТСМ 3 (фиг. 3).

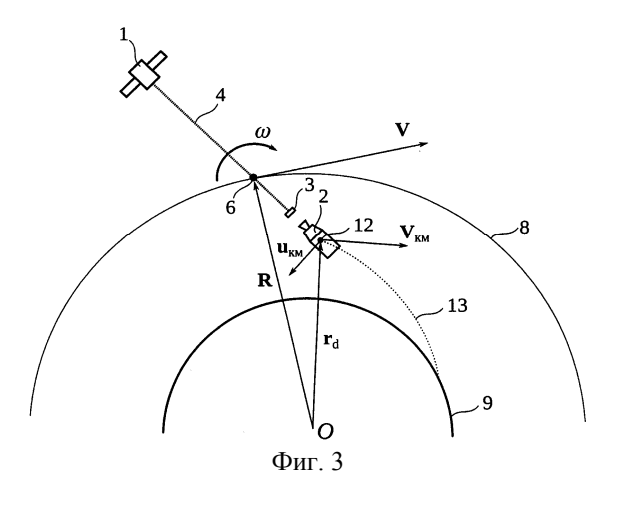
#### ФОРМУЛА ИЗОБРЕТЕНИЯ

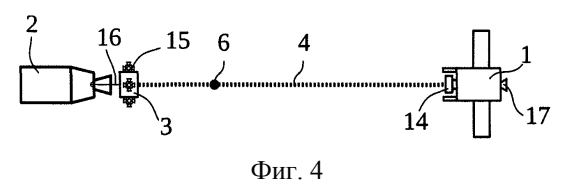
1. Способ увода объектов крупногабаритного космического мусора (КМ), основанный на использовании космического буксира (КБ), отделяющегося от него на тросе транспортно-стыковочного модуля (ТСМ) и стыковки с КМ, отличающийся тем, что за счёт различия орбитальных скоростей (КБ с ТСМ) и КМ, используя ТСМ для доставки троса А от КБ к КМ, на этапе ближнего наведения формируют вращающуюся тросовую систему (ТС1), включающую в свой состав КБ - трос А - ТСМ, с жёсткой механической связью между ТСМ и КМ или вращающуюся тросовую систему (ТС2), включающую в свой состав КБ - трос А - ТСМ, с тросовой связью (трос Б) между ТСМ и КМ после формирования вращающейся ТС1 (ТС2), определяют её угловое положение на орбите по отношению к вектору орбитальной скорости её центра масс и для увеличения высоты орбиты центра масс прилагают импульс двигательной установки (ДУ) КБ, направленной вдоль линии троса А в сторону центра масс ТС1 (ТС2), на интервале углового положения ТС1 (ТС2), соответствующего положительной величине проекции импульса ДУ КБ на вектор орбитальной скорости центра масс ТС1 (ТС2), а для уменьшения высоты орбиты центра масс импульс ДУ КБ прилагают на интервале углового положения ТС1 (ТС2), соответствующего отрицательной величине проекции импульса ДУ КБ на вектор орбитальной скорости центра масс ТС1 (ТС2), управление натяжением троса А, соединяющего КБ с ТСМ, от момента формирования жёсткой связи между ТСМ и КМ, до момента отделения КМ от ТСМ, осуществляют изменением длины троса А для обеспечения гарантированного натяжения троса А с учётом действия на КБ силы тяги, силы натяжения троса А от вращения TC1 вокруг её центра масс, а также для демпфирования возможных продольных колебаний троса А, при этом сила натяжения троса А не должна превышать предельного значения, определяемого свойствами материала троса А, и прочностью элементов конструкций, обеспечивающих крепление троса А к ТСМ и КБ и соединение ТСМ с КМ, управление натяжением тросов А, Б, соединяющего КБ с ТСМ и ТСМ с КМ соответственно, осуществляют путём изменения длин тросов А, Б для обеспечения гарантированного их натяжения с учётом действия на КБ силы тяги ДУ КБ, натяжения тросов А, Б от вращения ТС2 вокруг центра масс, демпфирования возможных продольных колебаний тросов, колебаний ТСМ относительно линии, соединяющей центры масс КМ и КБ, и отсутствия в ТС2 резонансных явлений, при этом сила натяжения тросов А, Б не должна превышать предельного значения, определяемого свойствами материалов тросов А,Б, и прочностью элементов конструкций, обеспечивающих крепление тросов А,Б к ТСМ и КБ, КМ соответственно, и соединение ТСМ с КМ, при достижении центром масс ТС1 заданной области околоземного пространства и заданной орбитальной скорости движения КМ осуществляют отделение КМ путём разрыва жёсткой механической связи между ТСМ и КМ, при достижении центром масс ТС2 заданной области околоземного пространства и заданной орбитальной скорости движения КМ осуществляют отделение КМ путём разрыва жёсткой механической связи между ТСМ и тросом Б, после отделения КМ осуществляют торможение вращения связки (КБ - трос А - ТСМ), стягивание в единую жёсткую связку и манёвр связки (КБ - ТСМ) к следующему объекту КМ.

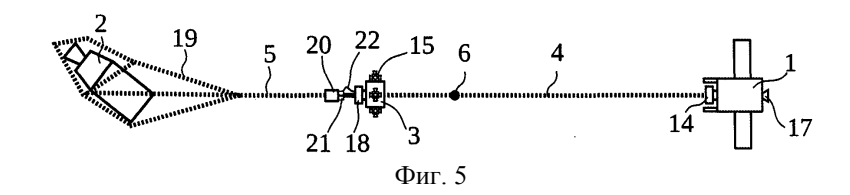
- 2. Способ по п.1, в котором ТСМ в ТС1 оснащён декартовой ДУ и системой жёсткой стыковки и захвата типа "штырь-конус" или "робот-рука".
- 3. Способ по п.2, в котором в состав ТСМ в ТС2 входит управляемый тросовый барабан Б, жёстко связанный с ТСМ, трос Б, система крепления троса Б с ТСМ на основе разрывных болтов, электрически связанная с ТСМ, отделяемая от ТСМ на тросе Б систему захвата типа гарпун, сеть.

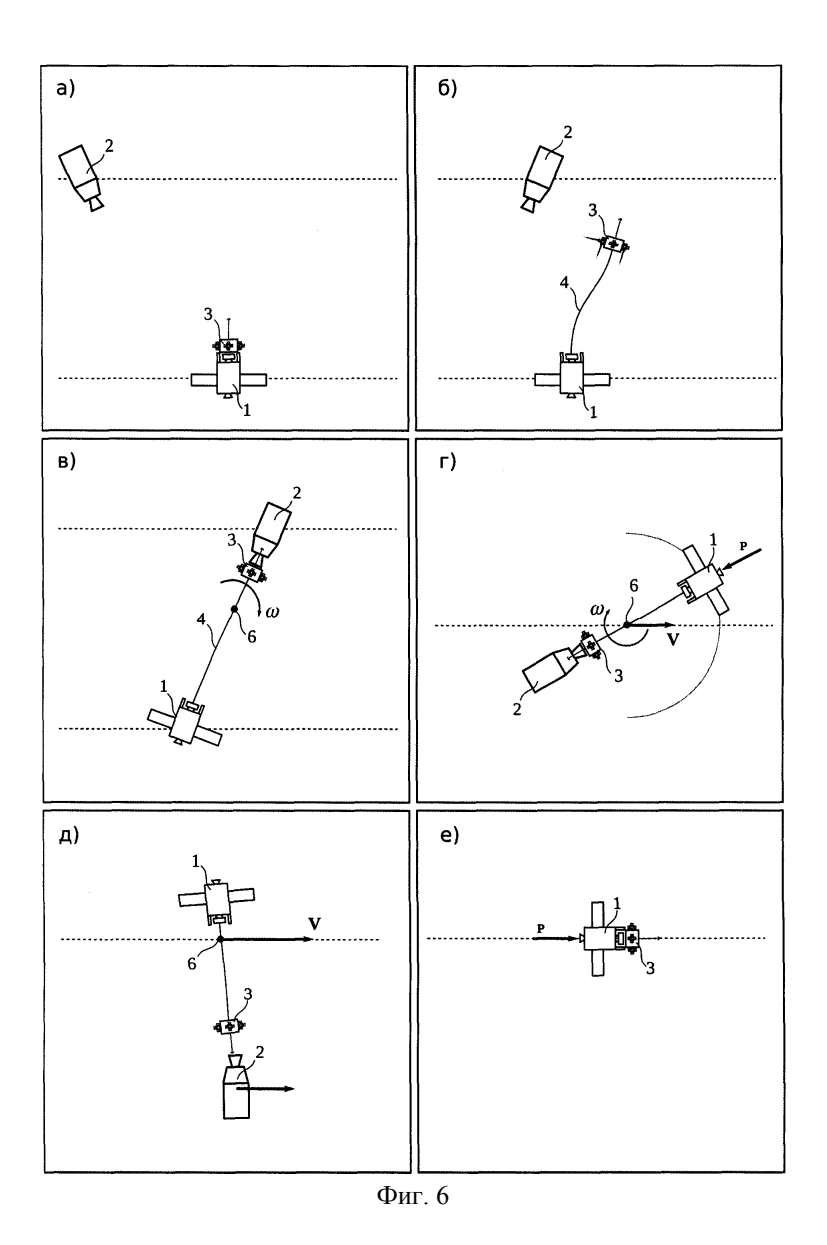












**Е**вразийская патентная организация, ЕАПВ

Россия, 109012, Москва, Малый Черкасский пер., 2